

依法韦仑 ; Efavirenz

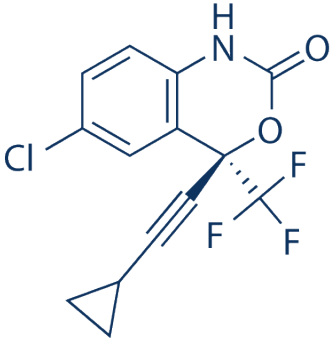
产品编号 : MB3218

质量标准 : >98%,BR

包装规格 : 1g ; 5g ;

产品形式 : 粉末

基本信息

分子式	C ₁₄ H ₉ ClF ₃ NO ₂	结构式	
分子量	315.67		
CAS No.	154598-52-4		
储存条件	常温, 避光防潮密闭干燥		
溶解性 (25°C)	DMSO 63 mg/mL		
	Ethanol 63 mg/mL		
	Water Insoluble		
注意事项	溶解性是在室温下测定的, 如果温度过低, 可能会影响其溶解性。		
其他说明	为了您的安全和健康, 请穿实验服并戴一次性手套操作。		

简介 : 依法韦仑 Efavirenz 是一种有效的野生型 **HIV-1 RT** 抑制剂, K_i 为 2.93 nM, 抑制 HIV-1 复制, IC_{95} 为 1.5 nM。

别名 : DMP 266; EFV; L-743726 ; Efavirenz ; 依法韦仑; 依氟维纶; 依非韦仑;

物理性状及指标 :

外观 :白色至类白色粉末

溶解性 :DMSO 63 mg/mL ; Ethanol 63 mg/mL ; Water Insoluble

含量 :>98%

储存条件 : 常温, 避光防潮密闭干燥

生物活性

产品描述	Efavirenz 是一种合成的、非核苷类 逆转录酶 抑制剂, 具有抗病毒活性。
靶点	Reverse transcriptase
体外研究	Efavirenz 对人工培养的恶性胶质瘤和已分化的人神经母细胞瘤细胞的线粒体呼吸功能具有直接的抑制作用。ER 应激标记物, 包括 CHOP 和 GRP78 的表达, eIF2a 的磷酸化和 XBP1 的剪切形式都在 Efavirenz 处理后上调。 Efavirenz 还增强了胞质内钙离子容量并诱导了内质网应激时的形态变化。这样的效应在线粒体功能改变的细胞(Rho)中被减弱。
体内研究	在 ApoE(-/-)小鼠中, Efavirenz 会导致动脉硬化, 但在实验所检测的浓度和处理时间下, 并不会引起斑块进展的升高。

美仑相关产品推荐

MB3218-S	依法韦仑(标准品)
----------	-----------

用途及描述： 科研试剂，广泛应用于分子生物学，药理学等科研方面，严禁用于人体。依非韦伦是一种合成的、非核苷逆转录酶抑制剂(NNRTI)。它是一种抗艾滋病病毒药物，通常用于艾滋病的综合治疗。它是高效抗逆转录病毒疗法(HAART)的一部分，用于治疗 1 型人类免疫缺陷病毒(HIV)。

储液配置：

体 DMSO 质 量 浓度 积	1 mg	5 mg	10 mg
1 mM	3.1679 mL	15.8393 mL	31.6787 mL
5 mM	0.6336 mL	3.1679 mL	6.3357 mL
10 mM	0.3168 mL	1.5839 mL	3.1679 mL
50 mM	0.0634 mL	0.3168 mL	0.6336 mL

经典实验操作（来源于公开文献，仅供参考）

细胞实验举例：

- ✦ Cell lines: 人脑胶质瘤 U-251MG,成神经细胞瘤 SH-SY5Y (ATCC CRL-2266)细胞
- ✦ Concentrations: 10 μ M, 25 μ M
- ✦ Incubation Time: 1 h
- ✦ Method: 将 SH-SY5Y 和 U-251MG 细胞用 vehicle, 10 μ M efavirenz 或 25 μ M efavirenz 处理 1 小时后，测定其氧气消耗速率。

动物实验举例

- ✦ Animal Models: Sprague-Dawley 大鼠
- ✦ Formulation: 0.5%甲基纤维素(口服)；DMSO(静脉注射)
- ✦ Dosages: 10, 40, and 160 mg/kg(oral)； 2, 5, 10, 15 mg/kg(i.v.)
- ✦ Administration: 静脉注射或口服

【注意】

- 我司产品为非无菌包装，若用于细胞培养，请提前做预处理，除去热原细菌，否则会导致染菌。
- 部分产品我司仅能提供部分信息，我司不保证所提供信息的权威性，以上数据仅供参考交流研究之用。

参考文献

- [1] Braz VA, et al. Biochemistry. 2010, 49(3):601-10.
- [2] Funes HA, et al. J Antimicrob Chemother. 2015, 70(8):2249-54.
- [3] Apostolova N, et al. J Hepatol. 2013, 59(4):780-9.
- [4] Caulk AW, et al. J Biomech. 2015, 48(10):2176-80.